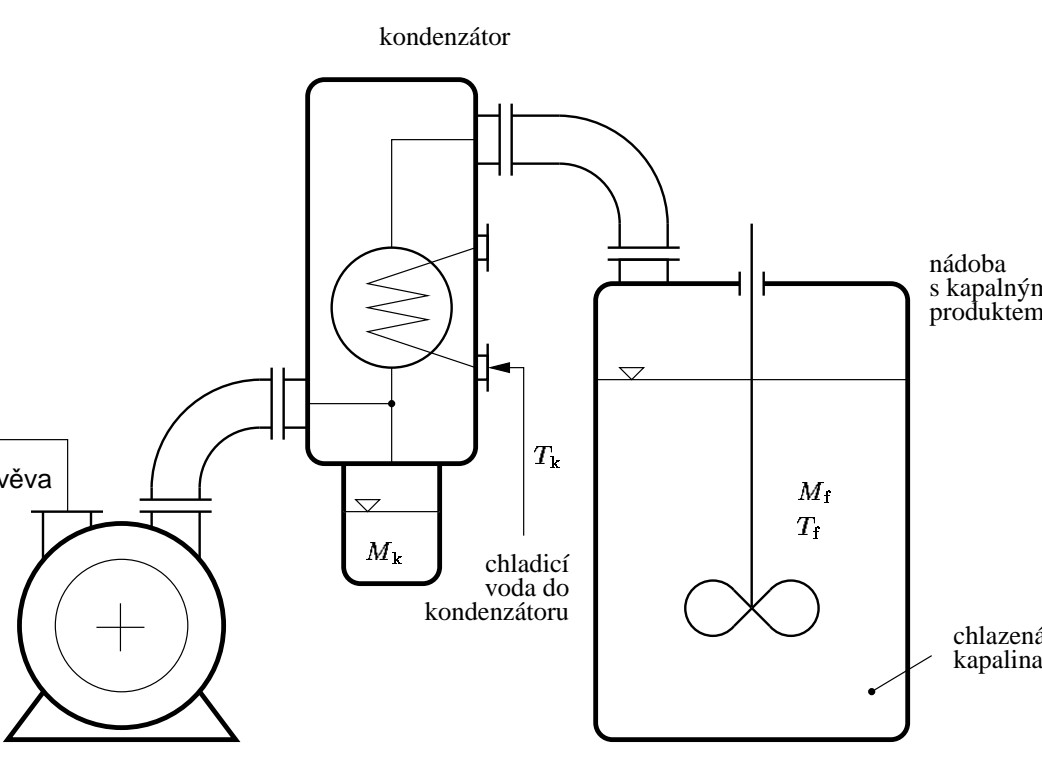


VAKUOVÉ CHLAZENÍ KAPALIN

Karel PETERA, Martin DOSTÁL



Abstrakt

Článek popisuje dva matematické modely procesu vakuového chlazení kapalin, které byly získány na základě provedené literární rešerše. Oba modely mohou být použity pro předpověď časové závislosti teploty chlazené kapaliny, tlaků, hmotnosti zkondenzovaných par kapaliny a hmotnosti kapaliny během procesu jejího vakuového chlazení. První z modelů předpokládá termodynamickou rovnováhu mezi chlazenou kapalinou a parami (rovnovážný model), kdy teplota chlazené kapaliny je shodná s teplotou nasycených par kapaliny, která je dána jen a pouze celkovým tlakem v zařízení. Druhý (nerovnovážný) model předpokládá, že hnací silou vypařování kapaliny během jejího varu při jejím vakuovém chlazení je rozdíl tlaku nasycených par kapaliny při teplotě chlazené kapaliny a celkovém tlaku v zařízení. V článku je shrnuta matematická teorie obou modelů. S použitím této teorie jsou pak tyto modely převzaty do podoby programového kódu, který je následně používán při simulacích procesu vakuového chlazení.

V článku jsou uvedeny výsledky numerické simulace procesu vakuového chlazení vody v zařízení fiktivních parametrů (byly částečně převzaty z reálného zařízení). Jsou uvedeny závislosti, z nichž je patrný vliv některých důležitých parametrů na proces vakuového chlazení (teplota chladiče vody v kondenzátoru, plocha mezičárového rozhraní a součin součinitele přestupu hmoty a velikosti mezičárového rozhraní). V článku je také studován vliv velikosti časového kroku použitého při numerickém řešení při diskretizaci časových derivací. Právě tyto výsledky poukazují na některé problémy spojené s druhým, nerovnovážným, modelem. V diskusi je uveden také nástin možného řešení.

Nerovnovážný model I

Zde uvádíme modifikovanou formulaci nerovnovážného modelu procesu vakuového chlazení kapalin uvedenou v Houška et al. (1996). Je založena na následujících předpokladech.

Předpoklady

- Vakuové chlazení čisté kapaliny. V případě vakuového chlazení roztoků je nutno v těchto modelech uvažovat zvýšení bodu varu roztoku oproti bodu varu čisté kapaliny.
- Nedochází k výměně tepla mezi kapalinou (případně jejími parametry) a okolím (adibaticky izolovaná soustava).
- Při průtoku odsávaných inertních plynů a par kapaliny zařízením jsou zanedbatelné tlakové ztráty, tj. v celém prostoru je stejný celkový tlak p .
- Nádoba je dokonale míchána, tj. kapalina má v každém místě stejnou teplotu.
- Tok odpařované kapaliny je dán součinitelem přestupu hmoty, velikostí mezičárové plochy a koncentračním gradientem mezi celkovým tlakem a tlakem nasycených par při teplotě kapaliny, viz Burfoot et al. (1989).
- Casový průběh teploty inertů je stanoven experimentálně a předpokládá se, že inerty s touto teplotou se nacházejí v celém objemu. Pomocí numerické simulace bylo zjištěno, že výsledky nejsou na změnu teplotu inertů příliš závislé a při dalších simulacích byl používán empirický model, kdy teplota inertů a par kapaliny je stejná jako teplota chlazené kapaliny ($T_i = T_f$).
- Během procesu vakuového chlazení jsou v celém prostoru přítomny pouze inerty a koncentrace par kapaliny je zanedbatelná, tzn. že všechny vzniklé páry okamžitě v kondenzátoru zkondenzují. Tento předpoklad se rozchází s předpokladem modelu uvedeném v Houška et al. (1996), ale je shodný se závěry numerické simulace uvedenými v této práci, který je během procesu sycen parami kapaliny.

Matematický model

Hmotnostní bilance inertů

$$\frac{dM_i}{dt} = \dot{M}_{in} - \dot{V}(p_i) \varrho_i$$

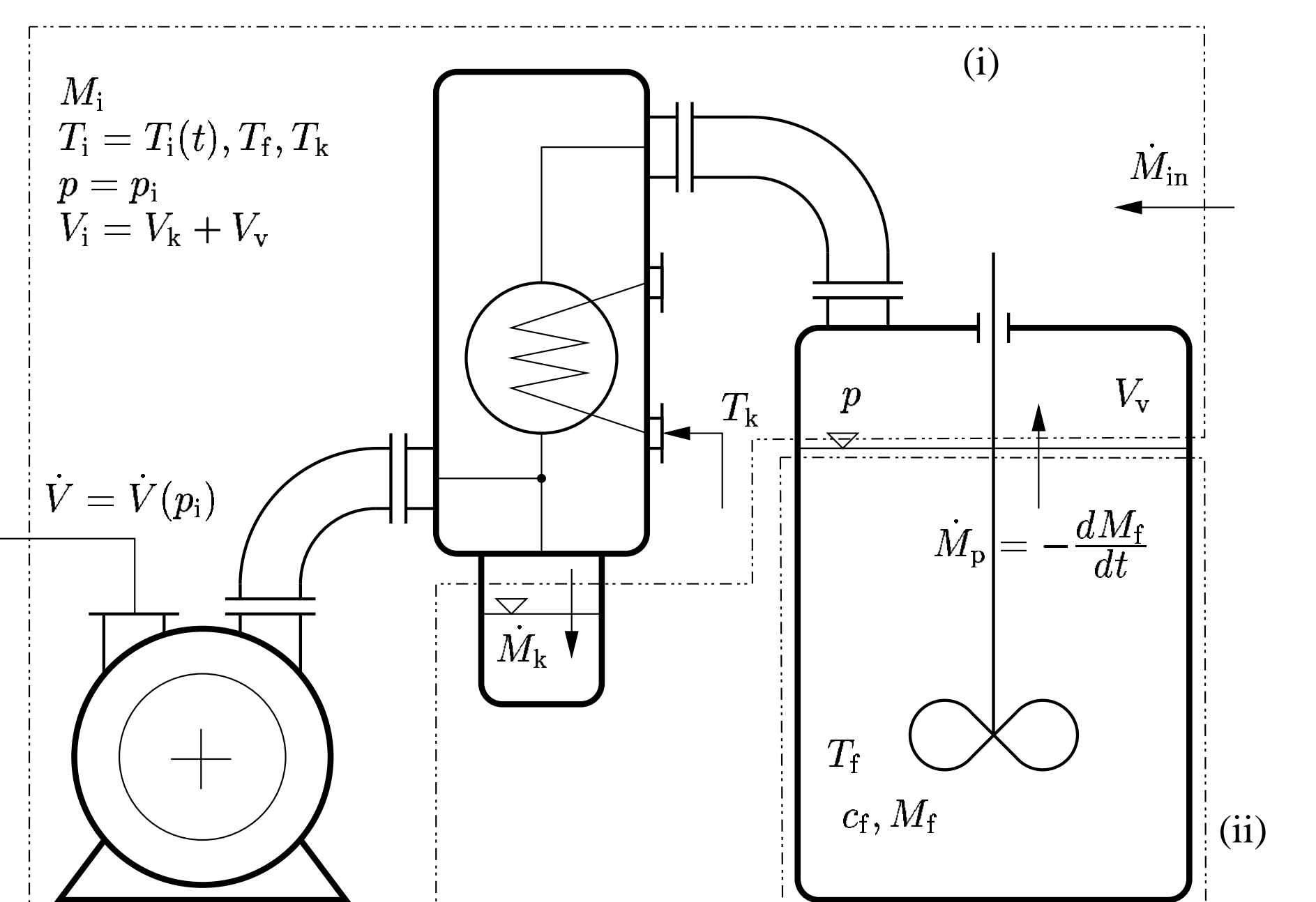
$$\varrho_i = \frac{\mathcal{M}_i p_i}{\mathcal{R} T_f}, \quad M_i = \varrho_i (V_k + V_v)$$

Tepelná bilance chlazené kapaliny

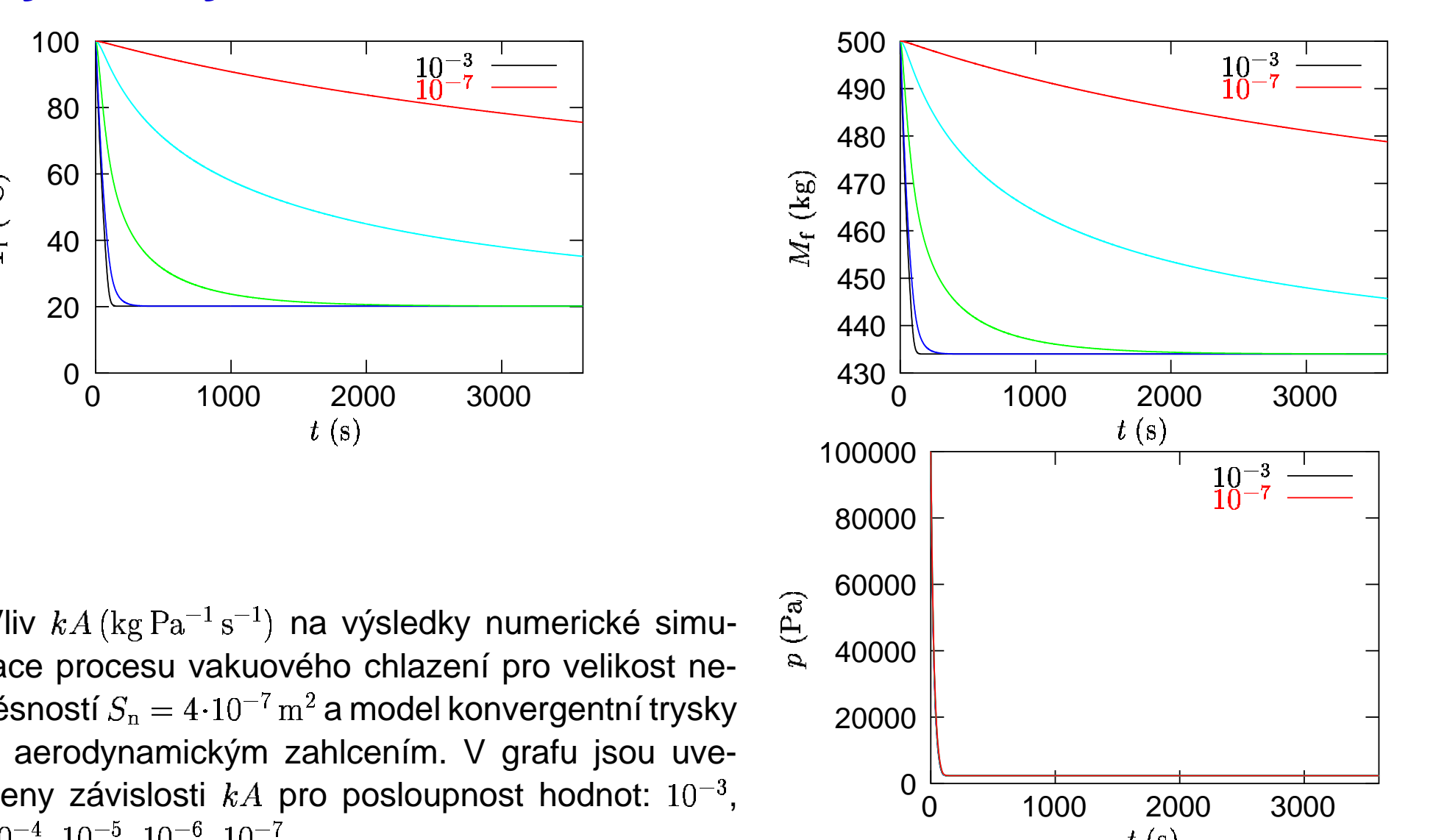
$$c_f M_f \frac{dT_f}{dt} = -\dot{M}_p r_{LG}$$

Rovnice přenosu hmoty (Burfoot et al., 1989)

$$\dot{M}_p = k A [p''(T_f) - p_i]$$



Výsledky numerické simulace



Vliv kA ($\text{kg Pa}^{-1} \text{s}^{-1}$) na výsledky numerické simulace procesu vakuového chlazení pro velikost netěsnosti $S_n = 4 \cdot 10^{-7} \text{ m}^2$ a model konvergentní trysky s aerodynamickým zahlcením. V grafu jsou uvedeny závislosti kA pro posloupnost hodnot: $10^{-3}, 10^{-4}, 10^{-5}, 10^{-6}, 10^{-7}$.

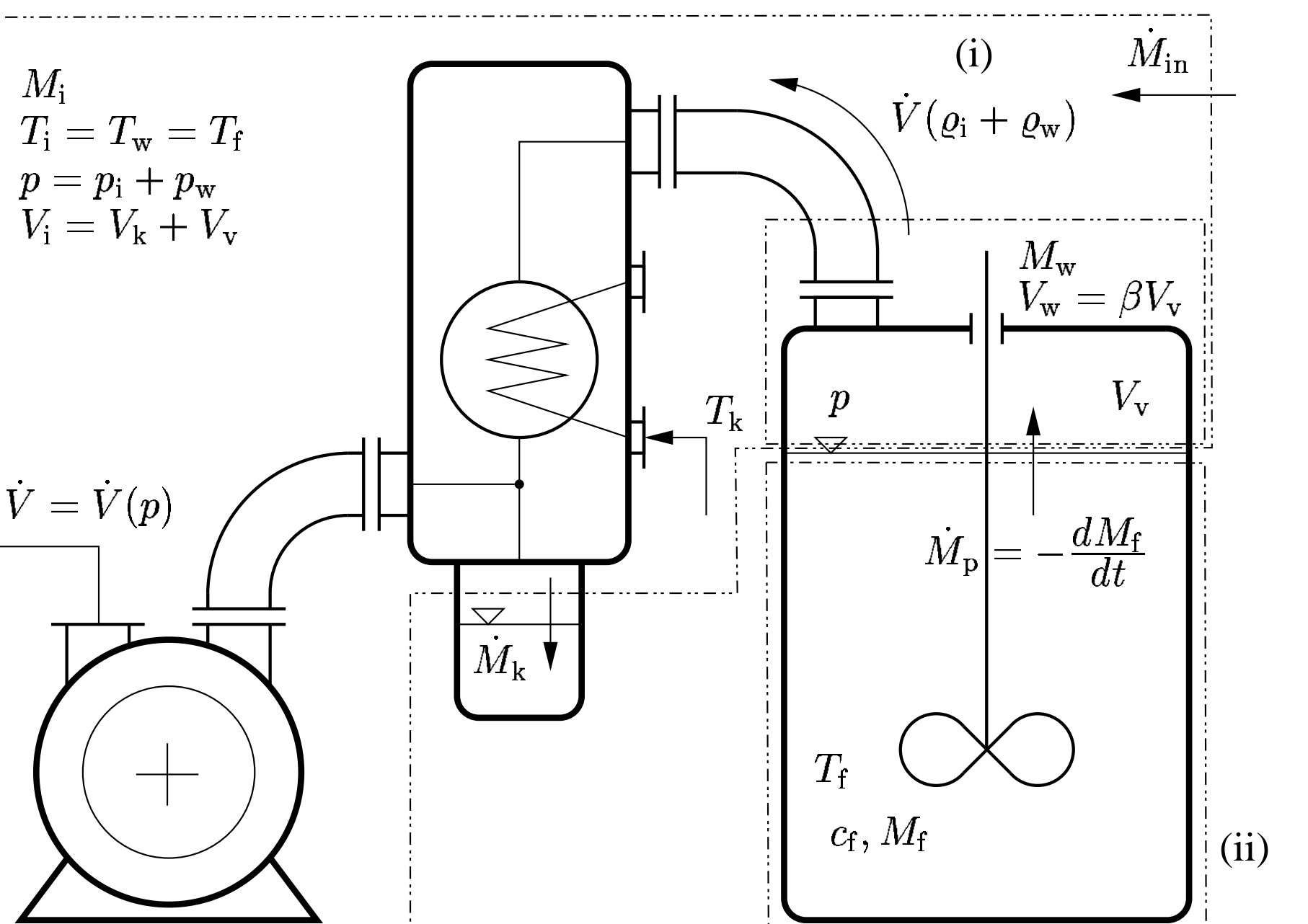
Nerovnovážný model II

Tato druhá modifikace aplikuje myšlenky postupného sycení inertů parami kapaliny v nerovnovážném modelu procesu vakuového chlazení. To se projeví ve změně posledních dvou předpokladů modelu I.

- Během procesu vakuového chlazení kapaliny se v celém objemu zařízení nachází směs inertů a par kapaliny o konstantní teplotě $T_i = T_w$ shodné s teplotou chlazené kapaliny T_f . Tento předpoklad je podložen experimentálními měřeními a numerickou simulací.
- Na počátku celého procesu jsou v celém objemu zařízení přítomny pouze inerty, které jsou pak v průběhu vakuového chlazení syceny parami kapaliny. Předpokládáme, že k akumulaci par kapaliny dochází v části objemu zařízení V_w , blízkému chlazené kapaline, a vývěra pak již dále přes kondenzátor odsává tuto směs inertů a par kapaliny.

MATEMATICKÉ MODELY VAKUOVÉHO CHLAZENÍ KAPALIN: PŘEHLED A DISKUSE

ČESKÉ VYSOKÉ UČENÍ TECHNICKÉ V PRAZE, Fakulta strojní
Katedra procesní a zpracovatelské techniky, Technická 4, 166 07 Praha 6
+420-2-2435 2749, petera@fsid.cvut.cz, http://www.fsid.cvut.cz/~petera/
+420-2-2435 2557, dostal@fsid.cvut.cz, http://www.fsid.cvut.cz/~dostal/



Matematický model

Hmotnostní bilance inertů

$$\frac{dM_i}{dt} = \dot{M}_{in} - \dot{V}(p_i) \varrho_i$$

$$\varrho_i = \frac{\mathcal{M}_i p_i}{\mathcal{R} T_f}, \quad M_i = \varrho_i (V_k + V_v)$$

Hmotnostní bilance par

$$\frac{dM_w}{dt} = \dot{M}_p - \dot{V}(p) \varrho_w$$

$$\varrho_w = \frac{\mathcal{M}_w p_w}{\mathcal{R} T_f}, \quad M_w = \varrho_w V_w$$

Celkový tlak

$$p = p_i + p_w$$

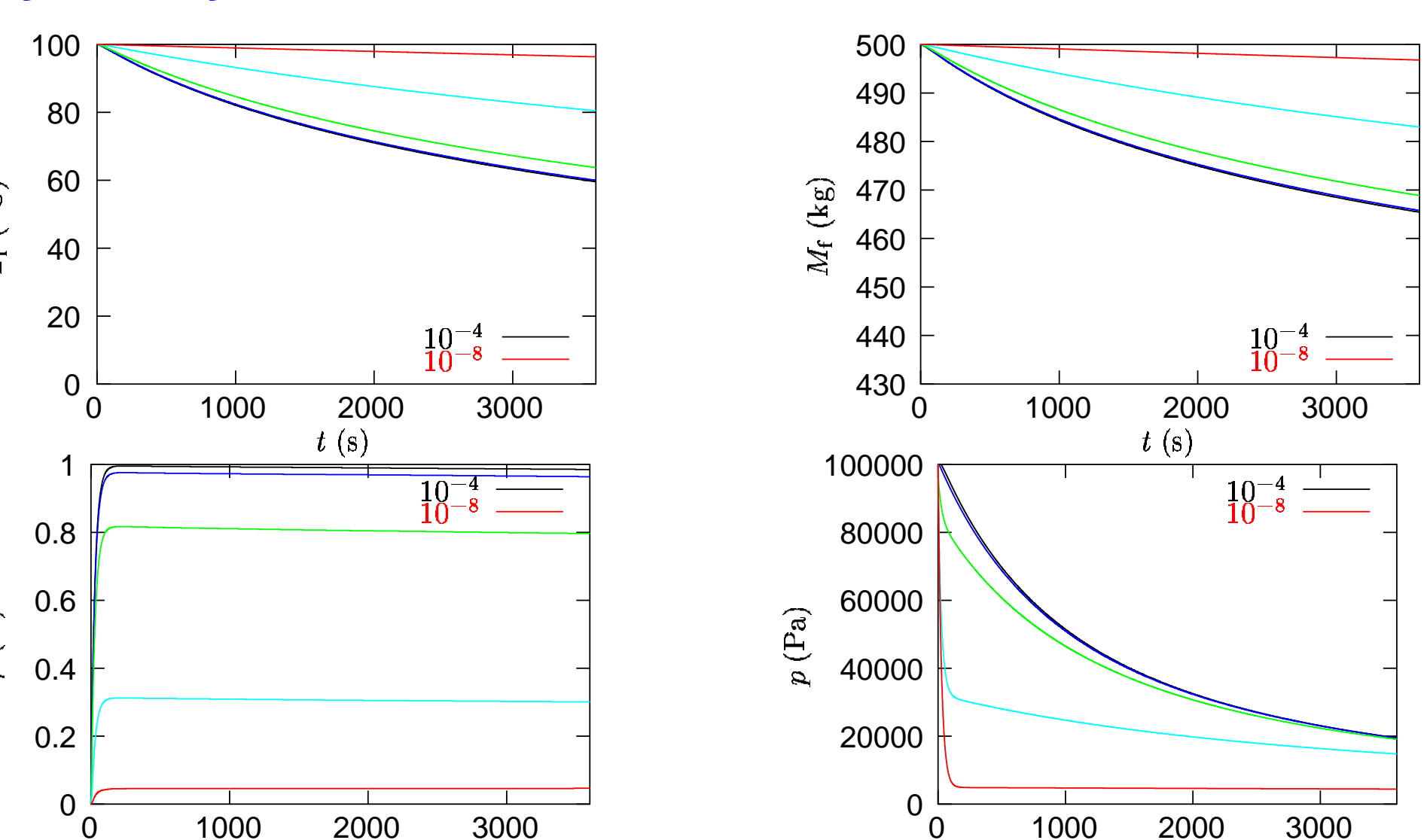
Tepelná bilance chlazené kapaliny

$$c_f M_f \frac{dT_f}{dt} = -\dot{M}_p r_{LG}$$

Rovnice přenosu hmoty (Burfoot et al., 1989)

$$\dot{M}_p = k A [p''(T_f) - p_i]$$

Výsledky numerické simulace



Vliv kA ($\text{kg Pa}^{-1} \text{s}^{-1}$) na výsledky numerické simulace procesu vakuového chlazení pro velikost netěsnosti $S_n = 4 \cdot 10^{-8} \text{ m}^2$ a model konvergentní trysky s aerodynamickým zahlcením. V grafu jsou uvedeny závislosti kA pro posloupnost hodnot: $10^{-4}, 10^{-5}, 10^{-6}, 10^{-7}, 10^{-8}$.

Závěr

- První modifikovaný nerovnovážný model procesu vakuového chlazení kapalin lze použít pro popis procesu. Model je založen na volbě parametru $k A$, který je nutno určit na základě výsledků experimentálního měření chlazení kapaliny v reálném zařízení. Model předpokládá existenci tlakového gradientu, který je hnací silou vypařování.
- Druhý modifikovaný nerovnovážný model procesu vakuového chlazení kapalin je založen na předpokladu postupného sycení inertů parami kapaliny, jejichž množství je dáno nestacionární hmotnostní bilancí. Tento model vykazuje příliš pomalý pokles teploty, který není od určité meze závislý na volbě parametru $k A$. To je pravděpodobně způsobeno konstrukcí empirického modelu přenosu hmoty založeném na tlakovém gradientu, neodpovídajícím zcela teorii přenosu hmoty. Bylo by vhodné též model doplnit tepelnými bilancemi inertů a par kapaliny.
- V budoucí práci bude vhodné se zaměřit na formulaci modelu odpovídajícímu lépe teorii přenosu hmoty (vypařování) a jeho experimentálního ověření.

Seznam symbolů

| | |
|-----------------|--|
| A | plocha mezičárového rozhraní pro vypařování (přestup hmoty) (m^2) |
| c_f | měrná tepelná kapacita chlazené kapaliny ($\text{J kg}^{-1} \text{K}^{-1}$) |
| k | součinitel přestupu hmoty ($\text{kg s}^{-1} \text{m}^{-2} \text{Pa}^{-1}$) |
| M_f | hmotnost chlazené kapaliny (kg) |
| M_i | hmotnost vzduchu (kg) |
| \dot{M}_n | hmotnostní průtok vzduchu netěsnostmi (kg s^{-1}) |
| M_k | hmotnost zkondenzovaných par kapaliny (kg) |
| \dot{M}_k | rychlosť změny hmotnosti zkondenzovaných par kapaliny, tj. hmotnostní průtok kondenzátu (kg s^{-1}) |
| \dot{M}_p | hmotnostní průtok vypařených par kapaliny (kg s^{-1}) |
| M_p | hmotnost vypařených par kapaliny (kg) |
| M_w | hmotnost par kapaliny nad hladinou chlazené kapaliny (kg) |
| M_i | molární hmotnost vzduchu (inertu) ve vakuovaném prostoru (kg kmol^{-1}) |
| M_w | molární hmotnost par kapaliny (kg kmol^{-1}) |
| \mathcal{M}_i | celkový tlak vzduchu (Pa) |
| \mathcal{M}_w | parciální tlak vzduchu (Pa) |
| p | tlak nasycených par kapaliny při dané teplotě (Pa) |
| p_i | výparné teploty kapaliny (J kg^{-1}) |
| p_w | univerzální plynná konstanta ($\text{J kmol}^{-1} \text{K}^{-1}$) |
| r_{LG} | čas (s) |
| \mathcal{R} | diferenciál času (s) |
| t | teplota chlazené kapaliny ($^{\circ}\text{C}, \text{K}$) |
| dt | teplota vzduchu (inertní plynné, inertní, nezkondenzovaných plynných) ($^{\circ}\text{C}, \text{K}$) |
| T_f | teplota chladicí vody v kondenzátoru ($^{\circ}\text{C}, \text{K}$) |
| T_i | teplota chlazené kapaliny ($^{\circ}\text{C}, \text{K}$) |
| T_k | objem, který zaujímá vzduch (inert) uvnitř systému (m^3) |
| T_w | objem kondenzátoru a okolních armatur (m^3) |
| V_i | objem prostoru v nádobě nad chlazenou kapalinou (m^3) |
| V_k | kontrolní průtok pro balanci vodních par (m^3) |
| V_v | objemový průtok směsi vzduchu a par kapaliny vývěrou ($\text{m}^3 \text{s}^{-1}$) |
| V | poměr V_w/V_v (-) |
| β | hmotnost chlazené kapaliny (kg m^{-3}) |
| ϱ_i | hmotnost (hmotnostní koncentrace) vzduchu při daných podmínkách (kg m^{-3}) |
| ϱ_i | hmotnost (hmotnostní koncentrace) par kapaliny při daných podmínkách (kg m^{-3}) |

Literatura

- Burfoot, D., Hayden, R., Badran, R.: Simulation of a pressure cook/water and vacuum cooled processing system, v R. W. Field, J. Howell, ed., *Process Engineering in the Food Industry Developments and Opportunities*, Elsevier Applied Science, London (1989), 27–41.
- Houška, M., Podloucký, Š., Žitný, R., Greé, R., Šesták, J., Dostál, M., Burfoot, D.: Mathematical model of the vacuum cooling of liquids, *Journal of Food Engineering*, 29 (1996), 339–348.